

Nombres complexes, sous-groupe des unités et géométrie

prérequis :

Table des matières

1. Construction de \mathbb{C} et premières propriétés	1
1.1. Nombres complexes	1
1.2. L'exponentielle complexe	2
1.3. Polynômes et racines dans \mathbb{C}	2
2. Racines n -èmes de l'unité	3
2.1. Etude du groupe \mathbb{U}	3
2.2. Polynômes cyclotomiques	4
2.3. Corps cyclotomiques	4
2.4. Dual d'un groupe abélien fini	6
2.5. Analyse harmonique sur un groupe abélien fini	6
2.6. Séries thêta	8
3. Nombres complexes et géométrie	8
3.1. Géométrie affine euclidienne	8
3.2. Géométrie conforme	11
4. Quelques énoncés de géométrie	12
4.1. Porisme de Steiner	12
4.2. Théorème de Miguel et applications	13
4.3. Le théorème des 7 cercles	15
4.4. Ellipse de Steiner	15
5. Développements	15
6. Questions	15
7. Solutions	16
Références	18

1. Construction de \mathbb{C} et premières propriétés

1.1. Nombres complexes. —

Définition 1.1. — \mathbb{C} est le corps de rupture sur \mathbb{R} du polynôme irréductible $X^2 + 1$.

Remarque : le fait que $X^2 + 1$ soit irréductible découle du fait qu'il ne prend que des valeurs ≥ 1 . En désignant par i une racine quelconque de $X^2 + 1$ dans \mathbb{C} , la famille $(1, i)$ est alors une base de \mathbb{C} en tant que \mathbb{R} espace vectoriel ; autrement dit tout nombre complexe z s'écrit de manière unique sous la forme $x + iy$. Le réel x (resp. y) s'appelle *la partie réelle* (resp. *la partie imaginaire*) de z et se note $\operatorname{Re}(z)$ (resp. $\operatorname{Im}(z)$).

Le corps \mathbb{C} est aussi le corps de décomposition de $X^2 + 1$ sur \mathbb{R} e sorte que l'extension \mathbb{C}/\mathbb{R} est galoisienne (comme toute les extensions de degré 2 sur un corps de caractéristique nulle) : *son groupe de Galois* est $\{\operatorname{Id}, \tau\}$ où $\tau(x + iy) = x - iy$ s'appelle la conjugaison complexe.

Définition 1.2. — Le module de $z \in \mathbb{C}$ est la racine carrée positive du réel positif $z\tau(z) = x^2 + y^2$; on le note $|z|$.

Remarque : le module définit une norme sur \mathbb{C} qui est multiplicative, i.e. $|zz'| = |z| \cdot |z'|$. On en déduit en particulier que l'ensemble \mathbb{U} des complexes de norme 1 est un sous-groupe multiplicatif de \mathbb{C}^\times .

Théorème 1.3. — *Toute extension du corps \mathbb{R} est \mathbb{C} ou le corps des quaternions.*

1.2. L'exponentielle complexe. — Comme \mathbb{C} munie de la norme $|\cdot|$ est complet, toute suite de Cauchy y admet une limite. Appliquons cela à la série $\sum_{n \geq 0} \frac{z^n}{n!}$ qui est une série entière de rayon de convergence $+\infty$ et appelons e^z sa limite. On a alors les propriétés suivantes :

- $\tau(e^z) = e^{\tau(z)}$, $|e^z| = e^{\operatorname{Re} z}$ et $e^z \in \mathbb{U}$ si et seulement si $z \in i\mathbb{R}$;
- $e^{z+u} = e^z e^u$, pour $e^z \neq 0$, $(e^z)^{-1} = e^{-z}$;
- la dérivée de l'application $z \mapsto e^z$ est égale à e^z .

Théorème 1.4. — *L'application e est un morphisme continu, surjectif et non injectif de $(\mathbb{C}, +)$ dans $(\mathbb{C}^\times, \times)$ dont la restriction à $i\mathbb{R}$ est surjective à valeurs dans \mathbb{U} et de noyau $2\pi\mathbb{Z}$ où $\operatorname{fr}m - \pi$ est le plus petit réel $a > 0$ tel que $e^{ia} = 1$.*

Définition 1.5. — Pour $z \in \mathbb{C}^\times$, on note $\arg(z)$ l'antécédent de $\frac{z}{|z|}$ dans $\mathbb{R}/2\pi\mathbb{Z}$ induit par l'isomorphisme $f : \mathbb{R}/2\pi\mathbb{Z} \simeq \mathbb{U}$; on l'appelle l'argument de z .

Corollaire 1.6. — *tout morphisme continu de $(\mathbb{R}, +)$ dans $(\mathbb{C}^\times, \times)$ est de la forme $t \mapsto e^{iat}$.*

On définit ensuite les fonctions cosinus et sinus :

$$\cos z = \frac{e^{iz} + e^{-iz}}{2}, \quad \sin z = \frac{e^{iz} - e^{-iz}}{2i}$$

que l'on peut aussi exprimer sous forme de séries entières. On vérifie alors les faits suivants :

- $(\cos)' = -\sin$ et $(\sin)' = \cos$;
- $\cos^2 z + \sin^2 z = 1$;
- $\pi/2$ est le plus petit réel $a > 0$ tel que $\cos a = 0$;
- l'ensemble des périodes des restrictions de \sin et \cos à \mathbb{R} est $2\pi\mathbb{Z}$.

1.3. Polynômes et racines dans \mathbb{C} . —

Théorème 1.7. — *(d'Alembert-Gauss) Pour tout $P \in \mathbb{C}[X]$ il existe $\alpha \in \mathbb{C}$ tel que $P(\alpha) = 0$.*

Corollaire 1.8. — *\mathbb{C} est algébriquement clos.*

Application : elles sont nombreuses, citons :

- les polynômes irréductibles de $\mathbb{R}[X]$ sont de degré 1 ou 2 et dans ce dernier cas avec un discriminant strictement négatif;
- tout endomorphisme de \mathbb{C}^n est trigonalisable, ce qui permet en particulier de prouver le théorème de Cayley-Hamilton.

Définition 1.9. — Un nombre complexe z tel que $\mathbb{Q}[z]$ est une extension finie de \mathbb{Q} est dit algébrique, ce qui revient à dire qu'il est la racine d'un polynôme à coefficients dans \mathbb{Q} .

La réunion des nombres algébriques forme un corps $\bar{\mathbb{Q}}$ appelé la clôture algébrique de \mathbb{Q} dans \mathbb{C} . L'ensemble des polynômes de degré n à coefficients dans \mathbb{Q} étant dénombrable, chacun possédant n racines dans \mathbb{C} , on voit que $\bar{\mathbb{Q}}$ est dénombrable. Les nombres complexes z non algébriques sont dits transcendants ce qui revient à dire que le sous-corps $\mathbb{Q}(z) \subset \mathbb{C}$ est isomorphe à $\mathbb{Q}(X)$. Bien que les nombres transcendants soient « très nombreux », il n'est pas si facile de les identifier,

Théorème 1.10. — *Le nombre réel π est transcendant.*

Remarque : le résultat peut se déduire désormais du théorème de Lindemann-Weierstrass, car $e^{i\pi} = 1$ est algébrique de sorte que $i\pi$ est transcendant. De la même façon, le nombre complexe i étant algébrique, d'après le théorème de Hermite-Lindemann, e^i est transcendant. Citons alors le paradoxe amusant suivant dû à Sierpinski et Mazurkiewicz.

Proposition 1.11. — *Soit $S = \{P(e^i), P \in \mathbb{N}[X]\} \subset \mathbb{C}$ et $A \subset S$ (resp. $B \subset S$) le sous-ensemble donné par les polynômes P tels que $P(0) = 0$ (resp. $P(0) \neq 0$). On a alors*

$$S = A \coprod B, \quad S = B - 1, \quad S = e^{-i}A.$$

Preuve : En effet si $P(X) = a_n X^n + \dots + a_0$ avec $a_i \geq 0$ et $a_0 > 0$ alors $Q(X) = P(X) - 1$ est tel que $Q(e^i) \in S$ et réciproquement tout $z = Q(e^i) \in S$ s'obtient ainsi. De la même façon si $P(X)$ est tel que $P(0) = 0$ alors $P(X) = XQ(X)$ avec $Q(e^i) = e^{-i}P(e^i) \in S$ et tout point de S s'obtient ainsi. \square

Remarque : contrairement au paradoxe de Banach-Tarski, on n'utilise pas ici l'axiome du choix, par contre l'ensemble S n'est pas borné. On ne sait pas s'il existe un tel sous-ensemble S de \mathbb{C} « paradoxal » qui soit borné.

2. Racines n -èmes de l'unité

Dans la suite n désigne un entier naturel non nul.

2.1. Etude du groupe \mathbb{U} . — On a vu que $\mathbb{U} \simeq \mathbb{R}/\mathbb{Z}$ dont le sous-groupe de torsion est \mathbb{Q}/\mathbb{Z} . Notons $G = \mathbb{Q}/\mathbb{Z}$ qui est clairement de torsion et pas de type fini puisque tout groupe de torsion de type fini est fini. On note $\mathbb{U}_n = \{z \in \mathbb{C} : z^n = 1\} \simeq \frac{1}{p^n}\mathbb{Z}/\mathbb{Z} \subset \mathbb{Q}/\mathbb{Z}$; muni de la multiplication on obtient un groupe isomorphe à $\mathbb{Z}/n\mathbb{Z}$ dont les générateurs sont appelés les racines primitives n -èmes de l'unité. L'ensemble des racines primitives n -ème de l'unité est noté \mathbb{U}'_n : il est de cardinal $\psi(n)$. Soit alors

$$G_p = \bigcup_{n \geq 1} \frac{1}{p^n}\mathbb{Z}/\mathbb{Z} = \frac{1}{p}\mathbb{Z}/\mathbb{Z} \subset \frac{1}{p^2}\mathbb{Z}/\mathbb{Z} \subset \dots \subset \frac{1}{p^n}\mathbb{Z}/\mathbb{Z} \subset \dots$$

Lemme 2.1. — *G_p est l'unique pro- p -groupe de Sylow de G .*

Preuve : Remarquons tout d'abord que G_p est un groupe : soient $x, y \in G$ alors il existe n et m tels que $x \in \frac{1}{p^n}\mathbb{Z}/\mathbb{Z}$ et $y \in \frac{1}{p^m}\mathbb{Z}/\mathbb{Z}$ et donc pour $r = \max\{n, m\}$, $x, y \in \frac{1}{p^r}\mathbb{Z}/\mathbb{Z}$ qui est un groupe et donc $x - y \in G_p$. Par ailleurs si $x \in G$ est d'ordre une puissance de p , alors clairement $x \in G_p$. \square

Lemme 2.2. — *Les sous-groupes stricts de G_p sont les $\frac{1}{p^n}\mathbb{Z}/\mathbb{Z}$.*

Preuve : Pour tout $n \geq 0$, $\frac{1}{p^n}\mathbb{Z}/\mathbb{Z}$ est un sous-groupe de G_p . Réciproquement soit H un sous-groupe de G_p et supposons que H ne soit pas de la forme $\frac{1}{p^n}\mathbb{Z}/\mathbb{Z}$ de sorte que pour tout n , il existe $x \notin \frac{1}{p^n}\mathbb{Z}/\mathbb{Z}$. Soit m tel que $x \in \frac{1}{p^m}\mathbb{Z}/\mathbb{Z}$ avec donc $m > n$ de sorte que $p^{m-n}x$ est un générateur de $\frac{1}{p^n}\mathbb{Z}/\mathbb{Z}$ et donc $\frac{1}{p^n}\mathbb{Z}/\mathbb{Z} \subset H$ et finalement $H = G_p$. \square

Lemme 2.3. — *Tout sous-groupe H de G est la somme directe de ses sous-groupes de Sylow $H_p = H \cap G_p$.*

Preuve : Soit $x \in H$ et n tel que $x \in \frac{1}{n}\mathbb{Z}/\mathbb{Z} \simeq \prod_p \frac{1}{p^{\alpha_p}}\mathbb{Z}/\mathbb{Z}$ où $n = \prod_p p^{\alpha_p}$ et donc $x = \sum_p x_p$ avec $x_p = \frac{n}{p^{\alpha_p}}x \in H \cap G_p$. Ainsi $H \subset \bigoplus_p H_p$, l'inclusion réciproque étant évidente. \square

Notation 2.4. — Le groupe G_p ci-dessus est généralement noté μ_{p^∞} et s'appelle le groupe de Prufer.

2.2. Polynômes cyclotomiques. — Le n -ème polynôme cyclotomique est

$$\Phi_n(X) = \prod_{\zeta \in \mathbb{U}'_n} (X - \zeta),$$

de sorte que $X^n - 1 = \prod_{d|n} \Phi_d(X)$.

Exemples On a $\Phi_1(X) = X - 1$, $\Phi_2(X) = X + 1$, $\Phi_3(X) = X^2 + X + 1$, $\Phi_4(X) = X^2 + 1$, $\Phi_6(X) = X^2 - 2x + 1$ et $\Phi_8(X) = X^4 + 1$.

Remarque : en utilisant la formule d'inversion de Moebius, on obtient

$$\Phi_n(X) = \prod_{d|n} (X^{n/d} - 1)^{\mu(d)}.$$

Par ailleurs si $n = p_1^{r_1} \cdots p_s^{r_s}$ alors $\Phi_n(X) = \Phi_{p_1 \cdots p_s}(X^{p_1^{r_1-1} \cdots p_s^{r_s-1}})$ et si p premier ne divise pas n alors :

$$\Phi_{p^i n}(X) = \frac{\Phi_n(X^{p^i})}{\Phi_n(X^{p^{i-1}})}.$$

Lemme 2.5. — Pour tout $n \geq 1$, on a $\Phi_n \in \mathbb{Z}[X]$.

Preuve : On calcule Φ_n par récurrence en utilisant l'égalité $\Phi_n(X) = \frac{X^n - 1}{\prod_{d|n, d \neq n} \Phi_d(X)}$ et donc

$\Phi_n(X) \in \mathbb{Q}[X]$. En outre par récurrence les $\Phi_d(X)$ sont des polynômes de $\mathbb{Z}[X]$ unitaires, de sorte que l'égalité précédente nous donne que $\Phi_n(X)$ est aussi à coefficients dans \mathbb{Z} et unitaire. \square

Application : théorème de Wedderburn : tout corps fini est commutatif.

Théorème 2.6. — Pour tout $n \geq 1$, le polynôme Φ_n est irréductible sur \mathbb{Z} .

Remarque : la preuve consiste à montrer que Φ_n est le polynôme minimal d'une (et donc de toute) racine primitive n -ème de l'unité.

Application : version faible du théorème de Dirichlet : il existe une infinité de nombres premiers congrus à 1 modulo n .

Théorème 2.7. — (Kronecker) Un polynôme unitaire de $\mathbb{Z}[X]$ dont les racines complexes sont toutes de module inférieur ou égal à 1 alors ce sont des racines de l'unité.

2.3. Corps cyclotomiques. — Soit $\zeta_n \in \mathbb{U}'_n$ et notons $K_n = \mathbb{Q}[\zeta_n]$. De l'irréductibilité de $\Phi_n(X)$, on en déduit qu'il est le polynôme minimal de ζ_n et donc $[K_n : \mathbb{Q}] = \psi_n$. Par ailleurs tout élément $\sigma \in \text{Gal}(K_n/\mathbb{Q})$ est déterminé par $\sigma(\zeta_n) \in \mathbb{U}'_n$ qui est donc de la forme ζ_n^k pour $k \wedge n$. On définit ainsi une injection $\text{Gal}(K_n/\mathbb{Q}) \hookrightarrow (\mathbb{Z}/n\mathbb{Z})^\times$ qui est donc surjectif par égalité des cardinaux. On a donc montré la proposition suivante.

Proposition 2.8. — Le groupe de Galois de $\mathbb{Q}[\zeta_n]/\mathbb{Q}$ est isomorphe à $(\mathbb{Z}/n\mathbb{Z})^\times$.

Remarque : dans le cas particulier où p est premier comme $(\mathbb{Z}/p\mathbb{Z})^\times$ est cyclique, il possède un unique sous-groupe de cardinal 2 (resp. d'indice 2) et donc K_n possède un unique sous-corps K tel que $[K : \mathbb{Q}] = (p-1)/2$ (resp. $[K : \mathbb{Q}] = 2$) qui est égal à $\mathbb{Q}[\cos(2\pi/n)]$ (resp. $\mathbb{Q}[\sqrt{\epsilon_p p}]$) où $\epsilon_p = 1$ si $p \equiv 1 \pmod{4}$ et $\epsilon_p = -1$ si $p \equiv 3 \pmod{4}$.

Application : les polygones réguliers constructibles à la règle et au compas sont ceux dont le nombre de côtés est n de la forme $2^k p_1 \cdots p_r$ où les p_i sont des nombres premiers de Fermat.

Remarque : si G est un groupe abélien fini, il est alors de la forme $\mathbb{Z}/n_1\mathbb{Z} \times \cdots \times \mathbb{Z}/n_r\mathbb{Z}$ de sorte qu'en prenant des nombres premiers $p_i \equiv 1 \pmod{n_i}$ et $N = p_1 \cdots p_r$, G est isomorphe à un sous-groupe de $(\mathbb{Z}/N\mathbb{Z})^\times$. Ainsi il existe $K \subset \mathbb{Q}[\zeta_N]$ tel que $\text{Gal}(K/\mathbb{Q}) \simeq G$. Réciproquement on a le résultat suivant.

Théorème 2.9. — (Kronecker-Weber) *Toute extension K de \mathbb{Q} tel que $\text{Gal}(K/\mathbb{Q})$ est abélien, est contenue dans une extension cyclotomique $\mathbb{Q}[\zeta_n]$ pour un certain entier n .*

En ce qui concerne les entiers algébriques de $\mathbb{Q}[\zeta_n]$ on peut montrer que ce sont exactement les éléments de $\mathbb{Z}[\zeta_n]$; nous nous proposons de montrer le cas $n = p$ premier.

Proposition 2.10. — *L'anneau des entiers \mathcal{O}_p de $\mathbb{Q}[\zeta_p]$ est $\mathbb{Z}[\zeta_p]$.*

Preuve : L'inclusion $\mathbb{Z}[\zeta_p] \subset \mathcal{O}_p$ est évidente, il s'agit alors de montrer l'inclusion inverse. La trace de ζ_p^i est $T(\zeta_p^i) = T(\zeta_p) = \zeta_p + \zeta_p^2 + \cdots + \zeta_p^{p-1} = -1$ de sorte que

$$T\left(\sum_{i=0}^{p-2} a_i \zeta_p^i\right) = (p-1)a_0 - \sum_{i=1}^{p-2} a_i = pa_0 - \sum_{i=0}^{p-2} a_i$$

La norme de $1 - \zeta_p$ est $N(1 - \zeta_p) = \prod_{i=1}^{p-1} (1 - \zeta_p^i) = \Phi_p(\zeta_p) = p$.

Soit alors $\alpha = a_0 + a_1 \zeta_p + \cdots + a_{p-2} \zeta_p^{p-2} \in \mathcal{O}_K$ et considérons $\alpha \zeta_p^{-k} - \alpha \zeta_p$. On a $T(\alpha \zeta_p^{-k} - \alpha \zeta_p) = T(a_0 \zeta_p^{-k} + \cdots + a_k + \cdots + a_{p-2} \zeta_p^{p-k-2} - a_0 \zeta_p - \cdots - a_{p-2} \zeta_p^{p-1})$ qui est donc égal à $pa_k - (a_0 + \cdots + a_{p-2}) - (-a_0 - \cdots - a_{p-2}) = pa_k$. Ainsi on obtient $b_k = pa_k \in \mathbb{Z}$.

On pose $\lambda = 1 - \zeta_p$, de sorte qu'en substituant $1 - \lambda$ à ζ_p dans $p\alpha = b_0 + \cdots + b_{p-2} \zeta_p^{p-2}$ on obtient

$$c_i = \sum_{j=i}^{p-2} (-1)^i \binom{i}{j} b_j \in \mathbb{Z} \quad b_i = \sum_{j=i}^{p-2} (-1)^i \binom{i}{j} c_j.$$

En particulier on a $c_0 = b_0 + \cdots + b_{p-2} = p(-T(\alpha) + b_0)$ et donc $p|c_0$. Supposons alors que pour $k \geq 0$, et pour tous $i \leq k-1$, les c_i sont divisibles par p . De l'égalité

$$p = N(1 - \zeta_p) = (1 - \zeta_p)^{p-1} \prod_{i=1}^{p-1} (1 + \zeta_p + \cdots + \zeta_p^{i-1}) = \lambda^{p-1} \kappa$$

on en déduit que p appartient à l'idéal (λ^{p-1}) de \mathcal{O}_K car $\kappa \in \mathbb{Z}[\zeta_p] \subset \mathcal{O}_K$. On reprend alors l'égalité $p\alpha = c_0 + \cdots + c_{p-2} \lambda^{p-2}$ que l'on regarde modulo (λ^{k+1}) ce qui donne $c_k \lambda^k \equiv 0 \pmod{(\lambda^{k+1})}$ et donc $c_k = \mu \lambda$ pour $\mu \in \mathcal{O}_K$. En prenant les normes on obtient $c_k^{p-1} = pN(\mu)$ et donc p divise c_k . On en déduit alors que p divise b_k et donc $a_k \in \mathbb{Z}$ ce qui prouve que $\mathcal{O}_p \subset \mathbb{Z}[\zeta_p]$ et donc l'égalité. \square

Remarque : le discriminant de $\mathbb{Q}[\zeta_p]$ est égal à $(-1)^{(p-1)(p-2)/2} N(\Phi_p'(\zeta_p))$ avec $\Phi_p(X) = \frac{X^p-1}{X-1}$ et donc $\Phi_p'(\zeta_p) = \frac{-p\zeta_p^{p-1}}{\lambda}$ de sorte que $N(\Phi_p'(\zeta_p)) = p^{p-2}$.

2.4. Dual d'un groupe abélien fini. — Dans ce paragraphe bien que les groupes considérés soient tous commutatifs, nous les noterons multiplicativement.

Définition 2.11. — Pour G un groupe abélien fini, on appelle caractère de G tout morphisme de G dans \mathbb{C}^\times et on note \hat{G} l'ensemble des caractères de G .

Remarque : si G est fini de cardinal n , tout élément $\chi \in \hat{G}$ est à valeurs dans \mathbb{U}_n . Par ailleurs \hat{G} est muni d'un loi de groupe commutatif par $\chi \cdot \psi(g) = \chi(g) \cdot \psi(g)$. L'application qui à G associe \hat{G} est un foncteur contravariant, i.e. si $u : G \rightarrow H$ est un morphisme, \hat{u} défini par $\hat{u}(\chi) = \chi \circ u$ est un morphisme $\hat{u} : \hat{H} \rightarrow \hat{G}$.

Exemples le groupe dual de μ_{p^∞} est l'anneau des entiers p -adiques \mathbb{Z}_p .

Proposition 2.12. — Si $G = H \times K$ alors $\hat{G} \simeq \hat{H} \times \hat{K}$.

Théorème 2.13. — Tout groupe abélien fini est non canoniquement isomorphe à son dual. Il est par contre canoniquement isomorphe à son bi-dual.

Remarque : si H est un sous-groupe de G alors tout $\chi_H \in \hat{H}$ se prolonge en un élément $\chi \in \hat{G}$. On note aussi $H^\perp \subset \hat{G}$ l'ensemble des χ tel que $\chi|_H = 1$. On a alors $H^\perp \simeq \widehat{G/H}$ et $\hat{G}/H^\perp \simeq \hat{H}$.

Exemples un caractère de Dirichlet est un élément du groupe dual de $(\mathbb{Z}/n\mathbb{Z})^\times$.

Remarque : on veillera à ne pas confondre les caractères de ce paragraphe avec les caractères des représentations d'un groupe G non abélien. En général un groupe non abélien G possède peu de caractères de \hat{G} . Par exemple les seuls caractères du groupe symétrique sont l'identité et la signature ; pour le groupe alternée \mathcal{A}_n avec $n \geq 5$, $\hat{\mathcal{A}}_n$ est réduit au caractère trivial.

2.5. Analyse harmonique sur un groupe abélien fini. — L'algèbre $\mathbb{C}[G]$ du groupe G de cardinal n , qui s'identifie à l'ensemble des fonctions de G dans \mathbb{C} , est munie d'une structure d'espace de Hilbert via la formule

$$a, b \in \mathbb{C}[G] \mapsto \langle a|b \rangle = \frac{1}{n} \sum_{g \in G} \overline{a(g)} b(g).$$

L'espace $\mathbb{C}[G]$ est munie d'une action linéaire R de G : pour $g \in G$, $R(g)f(h) = f(gh)$. On vérifie que les opérateurs $R(g)$ sont unitaires

$$\langle R(h)u, R(h)v \rangle = \frac{1}{n} \sum_{g \in G} [R(h)u](g) \overline{[R(h)v](g)} = \frac{1}{n} \sum_{g \in G} u(g+h) \overline{v(g+h)} = \langle u, v \rangle.$$

Théorème 2.14. — L'ensemble $\hat{G} \subset \mathbb{C}[G]$ forme une base orthonormale qui diagonalise tous les $R(g)$.

Remarque : autrement dit on a les relations suivantes

$$\frac{1}{n} \sum_{g \in G} \chi(g) \overline{\chi'(g)} = \begin{cases} 1 & \text{si } \chi = \chi' \\ 0 & \text{si } \chi \neq \chi' \end{cases}$$

Dualement en raisonnant sur \hat{G} , on a aussi

$$\frac{1}{n} \sum_{\chi \in \hat{G}} \chi(g) \overline{\chi(g')} = \begin{cases} 1 & \text{si } g = g' \\ 0 & \text{si } g \neq g' \end{cases}$$

Définition 2.15. — La transformée de Fourier de $a \in \mathbb{C}[g]$ est l'élément $\mathcal{F}a \in \mathbb{C}[\hat{G}]$ définie par

$$\chi \in \hat{G} \mapsto \frac{1}{\sqrt{n}} \sum_{g \in G} a(g) \overline{\chi(g)}.$$

Remarque : $\mathbb{C}[G]$ est munie d'une structure d'algèbre via le produit de convolution $a * b(g) = \sum_{h \in G} a(h)b(h^{-1}g)$. On vérifie alors que $\mathcal{F}a * b = \mathcal{F}a \cdot \mathcal{F}b$.

Application : Transformée de Fourier rapide : on identifie $\mathbb{C}[\mathbb{Z}/n\mathbb{Z}]$ avec $\mathbb{C}[X]/(X^n - 1)$ en associant à la fonction qui à $\bar{k} \mapsto a_k$, le polynôme $P_a(X) = a_0 + \dots + a_{n-1}X^{n-1}$ de sorte que $P_{a*b} = P_a P_b$. L'idée pour multiplier deux polynômes est alors d'utiliser la transformée de Fourier et l'égalité $\mathcal{F}a * b = \mathcal{F}a \cdot \mathcal{F}b$ puis de réappliquer la transformation de Fourier. La tâche consistant à calculer la transformation de Fourier est facilitée par le processus récursif suivant que l'on utilise via l'écriture en base 2 de n .

Pour $n = 2n'$, on pose $\zeta' = \zeta^2$ et $E' = \mathbb{C}[X]/(X^{n'} - 1)$ et on définit \mathcal{F}' et $\tilde{\mathcal{F}}'$ à l'aide de ζ' . Pour $a \in E$, on note $a^0, a^1 \in E'$ en posant $a_i^0 = a_{2i}$ et $a_i^1 = a_{2i+1}$.

Lemme 2.16. — Pour $0 \leq j \leq n' - 1$, on a

$$(\mathcal{F}a)_j = (\mathcal{F}'a^0)_j + \zeta^j (\mathcal{F}'a^1)_j \text{ et } (\mathcal{F}a)_{n'+j} = (\mathcal{F}'a^0)_j - \zeta^j (\mathcal{F}'a^1)_j.$$

Remarque : en écrivant les entiers en base b , on obtient ainsi un algorithme de multiplication des grands entiers plus efficace que l'algorithme naïf, en $O(r(\ln r)^2)$ où r est un majorant du nombre de chiffres des entiers à multiplier.

Proposition 2.17. — (égalité de Parseval) La transformée de Fourier est une isométrie entre les espaces de Hilbert $\mathbb{C}[G]$ et $\mathbb{C}[\hat{G}]$.

Proposition 2.18. — (formule de Plancherel) Pour tout $a \in \mathbb{C}[G]$, on a

$$a = \frac{1}{\sqrt{n}} \sum_{\chi \in \hat{G}} \mathcal{F}a(\chi) \chi.$$

Remarque : autrement dit, en notant $\hat{\mathcal{F}}$ la transformée de Fourier sur $\mathbb{C}[\hat{G}]$, $\hat{\mathcal{F}} \circ \mathcal{F} = \text{Id}$. De même on a aussi $\mathcal{F} \circ \hat{\mathcal{F}} = \text{Id}$.

Proposition 2.19. — (formule sommatoire de Poisson) Pour H un sous-groupe de G de cardinal m et $a \in \mathbb{C}[G]$, on a

$$\frac{1}{\sqrt{m}} \sum_{h \in H} a(h) = \frac{1}{\sqrt{n/m}} \sum_{\chi \in H^\perp} \mathcal{F}a(\chi).$$

Application : Sommes de Gauss : soit χ un caractère de \mathbb{F}_p^\times que l'on prolonge en un élément de $\mathbb{C}[\mathbb{F}_p]$ en posant $\chi(0) = 0$. Soit alors la transformée de Fourier $G(\chi, \cdot)$ de χ ; si ψ est un caractère de \mathbb{F}_p , on obtient la somme de Gauss :

$$G(\chi, \psi) = \sum_{x \in \mathbb{F}_p^\times} \chi(x) \psi(x)$$

laquelle peut être utilisé, par exemple, pour prouver la loi de réciprocité quadratique.

2.6. Séries thêta. — Dans la preuve de l'équation fonctionnelle de la fonction zêta de Riemann, on utilise la fonction thêta usuelle

$$\theta(z) = \sum_{n \in \mathbb{Z}} e^{i\pi n^2 z}$$

pour $z = iy$, $y > 0$. Celle-ci définit une fonction holomorphe sur le demi-plan de Poincaré ; la formule sommatoire de Poisson donne par prolongement analytique l'équation fonctionnelle

$$\theta\left(-\frac{1}{z}\right) = (-iz)^{1/2} \theta(z)$$

où $(-iz)^{1/2}$ est donné par la branche de la fonction sur \mathcal{H} qui envoie iy sur \sqrt{y} . Cette relation jointe à la relation évidente $\theta(z+2) = \theta(z)$ donne une règle de transformation pour $f(\gamma z)$ pour tout $\gamma \in \langle T^2, S \rangle \subset PSL_2(\mathbb{Z})$ agissant sur \mathcal{H} par homographies. De même pour tout $k \geq 1$, $\theta(z)^k$ satisfait à des formules de transformation analogues. Par ailleurs les égalités

$$\theta(z)^k = \sum_{n \geq 0} r_k(n) e^{i\pi n z}$$

où $r_k(n)$ désigne le nombre de représentations de n comme somme de k carrés d'entiers, justifient à elles seules, l'acharnement qu'ont subies ces séries. En particulier, on peut montrer les identités suivantes :

$$\begin{aligned} r_2(n) &= 4 \sum_{d|n} \chi_4(d) \\ r_4(n) &= 8(3 + (-1)^n) \sum_{d|n} d \\ r_6(n) &= 16 \sum_{d|n} d^2 \chi_4\left(\frac{n}{d}\right) - 4 \sum_{d|n} d^2 \chi_4(d) \end{aligned}$$

avec $\chi_4(n) = d_1(n) - d_3(n)$ où $d_1(m)$ (resp. $d_3(m)$) est le nombre de diviseur $d \equiv 1 \pmod{4}$ (resp. $d \equiv 3 \pmod{4}$) de n .

3. Nombres complexes et géométrie

On choisit un point O du plan affine euclidien réel ainsi qu'une base orthonormale. Tout point du plan de coordonnées (x, y) est repéré par le nombre complexe $z = x + iy$ appelé son affixe. La distance entre deux points du plan d'affixe respectives z_1, z_2 sont à distance $|z_2 - z_1|$.

3.1. Géométrie affine euclidienne. — Les vecteurs pointant vers deux points M_1 et M_2 sont orthogonaux (resp. colinéaires) si et seulement si $\bar{z}_1 z_2 + z_1 \bar{z}_2 = 0$ (resp. $\begin{vmatrix} z_1 & z_2 \\ \bar{z}_1 & \bar{z}_2 \end{vmatrix} = z_1 \bar{z}_2 - \bar{z}_1 z_2 = 0$). Trois points d'affixes z_0, z_1, z_2 sont alignés si et seulement si

$$\begin{vmatrix} 1 & 1 & 1 \\ z_0 & z_1 & z_2 \\ \bar{z}_0 & \bar{z}_1 & \bar{z}_2 \end{vmatrix} = 0.$$

Remarque : une façon de le voir est d'écrire une équation cartésienne $ax + by + c = 0$ sous la forme $a \frac{z+\bar{z}}{2} + b \frac{z-\bar{z}}{2i} + c = 0$ et de remarquer que le vecteur $(c, (a-bi)/2, (a+bi)/2)$ est alors un vecteur propre de la matrice ci-dessus. Une autre façon de raisonner est de remarquer que l'angle $(\widehat{M_2 M_0 M_1})$ est l'argument du complexe $\frac{z_1 - z_0}{z_2 - z_0}$. Le déterminant précédent permet aussi de donner une équation de la droite passant par z_1 et z_2 . En outre l'aire du triangle z_0, z_1, z_2 est égale à $\frac{i}{4}$ fois le déterminant précédent.

3.1 — *Géométrie du triangle* : le triangle formés par trois points d'affixes respectives a, b, c est isocèle en A si et seulement si $|a-b| = |a-c|$; il est rectangle en A si et seulement si $\frac{b-a}{c-a} \in i\mathbb{R}$; il est équilatéral si et seulement si $a+bj+cj^2 = 0$ ou encore $(a-b)^2 + (b-c)^2 + (c-a)^2 = 0$.
Application : si on se donne trois arcs du cercle unité de longueur $\pi/3$ alors les milieux des cordes extérieures forment un triangle équilatéral

Remarque : plus généralement un polygone A_0, \dots, A_n est régulier direct si et seulement si

$$\forall k = 1, \dots, n-2, \quad \sum_{i=0}^{n-1} a_i \zeta_n^{ki} = 0$$

où $\zeta_n = e^{2i\pi/n}$.

3.2 — *Cocyclicité* : quatre points distincts deux à deux : A, B, C, D d'affixe respective a, b, c, d sont cocycliques ou alignés si et seulement si le birapport

$$[a, b, c, d] = \frac{c-a}{c-b} : \frac{d-a}{d-b} \in \mathbb{R}.$$

Autrement dit si et seulement si

$$\begin{vmatrix} 1 & 1 & 1 & 1 \\ a & b & c & d \\ \bar{a} & \bar{b} & \bar{c} & \bar{d} \\ a\bar{a} & b\bar{b} & c\bar{c} & d\bar{d} \end{vmatrix} = 0.$$

Remarque : comme précédemment le déterminant précédent permet de donner l'équation du cercle droite passant par les points d'affixe a, b, c dont le centre se calcule en faisant le quotient des coefficients de \bar{z} et $z\bar{z}$ soit

$$\frac{(b-c)(|a|^2 - |c|^2) - (a-c)(|b|^2 - |c|^2)}{(b-c)(\bar{a} - \bar{c}) - (a-c)(\bar{b} - \bar{c})}.$$

De la même façon, l'équation de la conique passant par les 5 points d'affixe a, b, c, d, e est donnée par

$$\begin{vmatrix} 1 & 1 & 1 & 1 & 1 \\ z & a & b & c & d & e \\ \bar{z} & \bar{a} & \bar{b} & \bar{c} & \bar{d} & \bar{e} \\ z^2 & a^2 & b^2 & c^2 & d^2 & e^2 \\ \bar{z}^2 & \bar{a}^2 & \bar{b}^2 & \bar{c}^2 & \bar{d}^2 & \bar{e}^2 \\ z\bar{z} & a\bar{a} & b\bar{b} & c\bar{c} & d\bar{d} \end{vmatrix} = 0.$$

Application : Soit E l'ellipse d'équation $\frac{x^2}{a^2} + \frac{y^2}{b^2} = 1$ où a et b sont positifs distincts et non nuls. On appelle **angle excentrique** d'un point $P \in E$ un réel t tel que $P = (a \cos t, b \sin t)$.

- (1) Quatre points de E d'angles excentriques respectifs $\alpha_i, i = 1, 2, 3, 4$ sont cocycliques si et seulement si la matrice 4×4 dont la i -ème ligne est

$$(1 \quad \cos \alpha_i \quad \sin \alpha_i \quad \cos 2\alpha_i)$$

est de déterminant nul.

- (2) Le déterminant ci-dessus est égal à

$$32 \sin\left(\frac{\sum_{i=1}^4 \alpha_i}{2}\right) \prod_{1 \leq i < j \leq 4} \sin\left(\frac{\alpha_i - \alpha_j}{2}\right)$$

(3) Avec les notations de (1) et en supposant les points distincts, ils sont cocycliques si et seulement si la somme de leurs angles excentriques est un multiple entier de 2π .

Preuve : (1) L'équation du cercle passant par les points $P_i = (x_i, y_i)$ pour $i = 1, 2, 3$, est

$$\begin{vmatrix} 1 & x & y & x^2 + y^2 \\ 1 & x_1 & y_1 & x_1^2 + y_1^2 \\ 1 & x_2 & y_2 & x_2^2 + y_2^2 \\ 1 & x_3 & y_3 & x_3^2 + y_3^2 \end{vmatrix} = 0$$

En remplaçant (x_i, y_i) par $(a \cos \alpha_i, b \sin \alpha_i)$, on obtient une matrice dont la i -ème ligne est

$$ab(1 \quad \cos \alpha_i \quad \sin \alpha_i \quad a^2 \cos^2 \alpha_i + b^2 \sin^2 \alpha_i)$$

Or $a^2 \cos^2 \alpha_i + b^2 \sin^2 \alpha_i = \frac{1}{2}(a^2 + b^2) + \frac{1}{2}(a^2 - b^2) \cos(2\alpha_i)$. Le déterminant de cette matrice est donc égal à $[ab(a^2 - b^2)/2]^4$ fois le déterminant de la matrice dont la i -ème ligne est $(1 \quad \cos \alpha_i \quad \sin \alpha_i \quad \cos 2\alpha_i)$.

(2) Le déterminant précédent est la partie réelle du déterminant de $(1 \quad \cos \alpha_i \quad \sin \alpha_i \quad e^{2i\alpha_i})$. En utilisant les formules d'Euler pour le cos et le sin, on obtient

$$\frac{1}{2} \operatorname{Re} \det(1 \quad e^{i\alpha_i} \quad ie^{-i\alpha_i} \quad e^{2i\alpha_i})$$

En changeant l'ordre des colonnes et en mettant $e^{-i\alpha_i}$ en facteur dans chaque ligne, on fait apparaître un Vandermonde et on obtient

$$\frac{1}{2} \operatorname{Re} \left(e^{-i \sum_{j=1}^4 \alpha_j} \prod_{1 \leq i < j \leq 4} (e^{i\alpha_i} - e^{i\alpha_j}) \right)$$

En mettant en facteur $e^{i \frac{\alpha_i - \alpha_j}{2}}$ pour chaque $i < j$, on obtient le résultat.

(3) C'est une conséquence directe de ce qui précède. \square

3.3 — *Applications affines* : la translation de vecteur a est $z \mapsto z + a$; l'homothétie de centre ω et de rapport $k \in \mathbb{R}$ est $z \mapsto kz + (1 - k)\omega$; la rotation de centre ω et d'angle θ est $z \mapsto e^{i\theta}z + (1 - e^{i\theta})\omega$; la symétrie par rapport à la droite d'équation $\bar{v}(z - c) + v(\bar{z} - \bar{c}) = 0$ est $z \mapsto -\frac{v}{\bar{v}}(\bar{z} - \bar{c}) + c$.

3.4 — *Géométrie du triangle* : soient A, B, C trois points distincts du plan complexe. On note A', B', C' les milieux des côtés $[BC]$, $[AC]$ et $[AB]$; G désigne l'isobarycentre du triangle, H l'orthocentre. L'homothétie de centre G et de rapport $-1/2$ transforme les hauteurs de ABC en celles de $A'B'C'$ qui sont les médiatrices de ABC de sorte que $\overrightarrow{GO} = -1/2 \cdot \overrightarrow{GH}$; par ailleurs le centre Ω du cercle circonscrit de $A'B'C'$ est tel que $\overrightarrow{G\Omega} = -1/2 \cdot \overrightarrow{GO}$. La droite joignant O, G, H, Ω s'appelle la *droite d'Euler*. Notons A_1, B_1, C_1 les pieds des hauteurs et soient U, V, W les milieux de $[A, H]$, $[B, H]$ et $[C, H]$. Comme Ω est le milieu de $[O, H]$, il appartient à la médiatrice de $[A', A_1]$ de sorte que A_1, B_1, C_1 appartiennent au cercle \mathcal{C} circonscrit à A', B', C' ; en outre l'homothétie de centre H et de rapport $1/2$ envoie le cercle circonscrit à ABC sur celui de $A'B'C'$ et donc U, V, W appartiennent à \mathcal{C} qui s'appelle le *cercle d'Euler*.

Droite de Simson : les pieds A_1, B_1, C_1 des trois perpendiculaires menées d'un point P sur les trois côtés d'un triangle sont alignés si et seulement si P appartient au cercle circonscrit.

Preuve : Supposons que P appartienne au cercle circonscrit ; comme A_1, B, C_1, P sont cocycliques on a

$$\widehat{(\overrightarrow{PC}, \overrightarrow{PA})} = \widehat{(\overrightarrow{BC}, \overrightarrow{BA})} = \pi - \widehat{(\overrightarrow{BC_1}, \overrightarrow{BA_1})} = \widehat{(\overrightarrow{PA_1}, \overrightarrow{PC_1})},$$

$$(\widehat{PA_1}, \widehat{PC}) = (\widehat{PA_1}, \widehat{PA}) - (\widehat{PC}, \widehat{PA}) = (\widehat{PA_1}, \widehat{PA}) - (\widehat{PA_1}, \widehat{PC_1}) = (\widehat{PC_1}, \widehat{PA}).$$

Comme P, A_1, C, B_1 sont cocycliques, on a $(\widehat{PA_1}, \widehat{PC}) = (\widehat{B_1A_1}, \widehat{B_1C})$ et comme P, C_1, B_1, A sont cocycliques,

$$(\widehat{B_1A}, \widehat{B_1C_1}) = \pi - (\widehat{PC_1}, \widehat{PA}) = \pi - (\widehat{PA_1}, \widehat{PC}) = \pi - (\widehat{B_1A_1}, \widehat{B_1C}) = (\widehat{B_1A}, \widehat{B_1A_1})$$

et donc A_1, B_1, C_1 sont alignés. Réciproquement on remonte les calculs ci-dessus de sorte que $(\widehat{PC}, \widehat{PA}) = (\widehat{BC}, \widehat{BA})$ et donc P appartient au cercle circonscrit. \square

3.2. Géométrie conforme. — Les références classiques sont [?] §2 et [3]. En dimension 2, il s'agit de la sphère de Riemann $S^2 = \mathbb{P}^1(\mathbb{C})$, en dimension quelconque on prend le plan affine euclidien E auquel on rajoute un point à l'infini $\hat{E} = E \cup \{\infty\}$ (on passe de l'une à l'autre par la projection stéréographique); la topologie sur \hat{E} est celle de E à laquelle on rajoute les ouverts du type $(E \setminus K) \cup \{\infty\}$ où K est un compact de E ; la projection stéréographique est un homéomorphisme.

Définition 3.5. — L'inversion de pôle ω et de puissance $\mu \in \mathbb{R}^\times$ est $z \mapsto \omega + \frac{\mu}{z-\omega}$; l'homographie de $\mathbb{P}^1(\mathbb{C})$ associée à $A \in PGL_2(\mathbb{C})$ est $z \mapsto \frac{az+b}{cz+d}$. A conjugaison près une homographie possédant deux (resp. un) points fixes est une homothétie de centre O (resp. une translation).

Remarque : pour une similitude f du plan affine euclidien, on la prolonge en posant $f(\infty) = \infty$; les inversion et les similitudes de \hat{E} engendrent un groupe appelé le groupe conforme ou groupe des homographies; la géométrie conforme est l'étude de l'action du groupe conforme sur \hat{E} . Si on rajoute la conjugaison, on obtient le groupe circulaire qui vu comme automorphismes de S^2 , correspond aux automorphismes qui conservent les cercles tracés sur S^2 . Une transformation circulaire droite ($z \mapsto \frac{az+b}{cz+d}$) (resp. gauche $z \mapsto \frac{a\bar{z}+b}{c\bar{z}+d}$) conserve (resp. change en son opposé) les angles orientés de droites.

Remarque : l'action de $PGL_2(\mathbb{R})$ sur le demi-point de Poincaré a pour domaine fondamental...

Définitions : - la puissance d'un point P par rapport à un cercle $\mathcal{C}(O, R)$ est la quantité $s = \overline{PA} \cdot \overline{PB}$, où A, B sont les points d'intersection d'une droite quelconque passant par P et coupant \mathcal{C} aux points A, B . En introduisant le point A' diamétralement opposé à A et en utilisant que le triangle ABA' est rectangle en B , on a $s = \overline{PA} \cdot \overline{PA'} = PO^2 - R^2$ et ne dépend donc pas de la droite choisie.

- L'axe radical de $\mathcal{C}, \mathcal{C}'$ est l'ensemble des points d'égale puissance par rapport à \mathcal{C} et \mathcal{C}' donné par l'équation $OM^2 - O'M^2 = R^2 - R'^2$ soit $2 \cdot \overline{O'M} \cdot \overline{O'O} = R'^2 - R^2 + O'O^2$ qui est donc la droite perpendiculaire à OO' et passant par $I \in (OO')$ tel que $\overline{OI} = \frac{R'^2 - R^2 + O'O^2}{2O'M}$.

Invariant conforme de deux cercles : soient $\mathcal{C}, \mathcal{C}'$ deux cercles de rayon respectifs R, R' et de centre O, O' avec $d = OO'$. La quantité $c = \frac{|R^2 + R'^2 - d^2|}{2RR'}$ est invariante par inversion.

Preuve : Dans le cas où \mathcal{C} et \mathcal{C}' s'intersectent en un point P , dans le triangle $OO'P$, on a $OO'^2 = PO^2 + PO'^2 - 2 \cdot \overline{PO} \cdot \overline{PO'} \cdot \cos \widehat{OPO'}$ et donc l'invariant en question n'est autre que que le cosinus de l'angle $\widehat{OPO'}$ qui est aussi celui entre les tangentes en P de \mathcal{C} et \mathcal{C}' lequel est conservé par inversion.

Dans le cas général, soit P n'appartenant ni à \mathcal{C} ni à \mathcal{C}' le pôle de l'inversion et μ son rapport; on note Γ et Γ' les cercles images de \mathcal{C} et \mathcal{C}' , de centre ω, ω' et de rayon ρ, ρ' . On rappelle que Γ (resp. Γ') est l'image de \mathcal{C} (resp. \mathcal{C}') par l'homothétie de centre S et de rapport

$\frac{\mu}{s}$ (resp. $\frac{\mu}{s'}$) où s (resp. s') est la puissance de S par rapport à \mathcal{C} (resp. \mathcal{C}') de sorte que la puissance de S par rapport à Γ (resp. Γ') est $\sigma = \frac{\mu^2}{s}$ (resp. $\sigma' = \frac{\mu^2}{s'}$). Dans les triangles POO' et $P\omega\omega'$, on écrit

$$d^2 = PO^2 + PO'^2 - 2.PO.PO'.\cos\widehat{OPO'}, \quad \omega\omega'^2 = \delta^2 = P\omega^2 + P\omega'^2 - 2P\omega.P\omega'.\cos\widehat{\omega P\omega'}$$

avec $\alpha = \widehat{OPO'} = \widehat{\omega P\omega'}$, de sorte que

$$\frac{R^2 + R'^2 - d^2}{\rho^2 + \rho'^2 - \delta^2} = \frac{s + s' - 2.PO.PO' \cos \alpha}{\sigma + \sigma' - 2.P\omega.P\omega'. \cos \alpha} = \frac{ss'}{\mu^2} = \frac{RR'}{\rho\rho'}$$

en utilisant $\frac{\sigma+\sigma'}{s+s'} = \frac{\mu^2}{ss'} = \frac{P\omega.P\omega'}{PO.PO'}$. \square

Remarque : \mathcal{C} et \mathcal{C}' sont non sécants (resp. sécants, resp. tangents) si et seulement si $c >$ (resp. $c < 1$, resp. $c = 1$).

Proposition : soient $\mathcal{C}(O, R)$ et $\mathcal{C}'(O', R')$ deux cercles non sécants ; les cercles orthogonaux à \mathcal{C} et \mathcal{C}' sont ceux centrés sur l'axe radical et passant par les points L, L' tels que $LI^2 = L'I'^2 = IO^2 - R^2 = IO'^2 - R'^2$.

Preuve : Soit $\mathcal{C}''(\omega, \rho)$ un tel cercle de sorte que $R^2 + \rho^2 = O\omega^2$ et $R'^2 + \rho^2 = O'\omega^2$ et donc $O\omega^2 - R^2 = O'\omega^2 - R'^2 = \rho^2$ et donc ω appartient à l'axe radical. Notons L, L' l'intersection de $\mathcal{C}'' \cap (OO')$: $LI^2 + I\omega^2 = L\omega^2 = \rho^2 = O\omega^2 - R^2$ et donc $LI^2 = OI^2 - R^2$ et de même $L'I'^2 = O'I'^2 - R'^2$ avec $LI = L'I'$. \square

Corollaire : soient deux cercles $\mathcal{C}, \mathcal{C}'$ non sécants ; il existe alors une inversion f telle que $f(\mathcal{C})$ et $f(\mathcal{C}')$ soient deux cercles concentriques.

Preuve : Soit f une inversion de pôle L et de puissance μ quelconque. Les images $f(\mathcal{C})$ et $f(\mathcal{C}')$ sont des cercles qui sont orthogonales à tous les $f(\Sigma)$ où Σ est un cercle quelconque centré sur l'axe radical de $\mathcal{C}, \mathcal{C}'$ et passant par L . Or les $f(\Sigma)$ sont des droites qui passent donc par les centres de $f(\mathcal{C})$ et $f(\mathcal{C}')$ lesquels sont donc dans l'intersection de tous les $f(\Sigma)$ et sont donc confondus. \square

4. Quelques énoncés de géométrie

4.1. Porisme de Steiner. — Il s'agit d'un énoncé de géométrie conforme : soient \mathcal{C} et \mathcal{C}' deux cercles non sécants tels que \mathcal{C}' soit à l'intérieur de \mathcal{C} . On construit alors une chaîne de cercles $\mathcal{C}_1, \mathcal{C}_2, \dots$ telle que \mathcal{C}_1 est tangent à \mathcal{C} et \mathcal{C}' quelconque, puis pour $i \geq 2$, \mathcal{C}_i est tangent à $\mathcal{C}, \mathcal{C}'$ et \mathcal{C}_{i-1} . La chaîne est alors finie si et seulement si l'invariant conforme c de \mathcal{C} et \mathcal{C}' est de la forme

$$c = \frac{R^2 + R'^2 - d^2}{2RR'} = \frac{1 + \sin^2(\pi p/k)}{\cos^2(\pi p/k)},$$

où p est le nombre de tours. En particulier cela ne dépend pas du choix du cercle \mathcal{C}_1 de départ.

Preuve : S'agissant clairement d'un énoncé de géométrie conforme, on applique une inversion de sorte que \mathcal{C} et \mathcal{C}' soient deux cercles concentriques : la figure étant alors clairement invariante par rotation, on remarque bien que l'alternative, la chaîne est finie ou infinie, est indépendante du choix de \mathcal{C}_1 . La chaîne sera finie si et seulement si l'angle $\frac{\widehat{O_1OO_2}}{2\pi} \in \mathbb{Q}$. Notons $\alpha = \frac{1}{2}\widehat{O_1OO_2} = \widehat{O_1OT}$ où T est le point de contact entre \mathcal{C}_1 et \mathcal{C}_2 : $\alpha = \pi \frac{p}{k}$. On note ρ, ρ' les rayons des deux cercles concentriques de sorte que d'après ce qui précède $\frac{\rho}{\rho'} = c + \sqrt{c^2 - 1}$

avec $\sin \alpha = \frac{\rho - \rho'}{\rho + \rho'}$ et donc $\frac{\rho}{\rho'} = \frac{1 + \sin \alpha}{1 - \sin \alpha}$ soit

$$c + \sqrt{c^2 - 1} = \frac{1 + \sin \frac{\pi p}{k}}{1 - \sin \frac{\pi p}{k}}$$

ce qui donne le résultat. \square

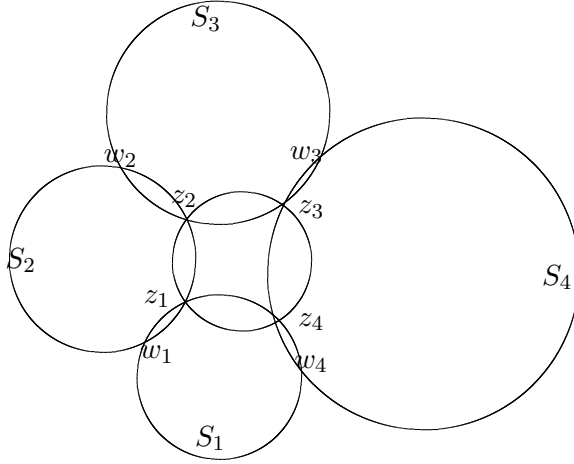
4.2. Théorème de Miguel et applications. — Commençons par une série de lemmes.

Lemme 4.1. — Soient S_1, S_2, S_3 et S_4 quatre cercles du plan, tels que S_1 coupe S_2 en deux points z_1, w_1 , qui lui-même coupe S_3 en z_2, w_2 , qui coupe S_4 en z_3, w_3 qui coupe S_1 en z_4, w_4 . On suppose que les points z_1, z_2, z_3, z_4 sont alignés ou cocycliques, alors il en est de même des points w_1, w_2, w_3, w_4 .

Preuve : Par construction les birapports suivant sont réels

$$W(z_1, w_2, z_2, w_1), W(z_2, w_3, z_3, w_2), W(z_3, w_4, z_4, w_3), W(z_4, w_1, z_1, w_4)$$

L'expression $\frac{W(z_1, w_2, z_2, w_1) \cdot W(z_3, w_4, z_4, w_3)}{W(z_2, w_3, z_3, w_2) \cdot W(z_4, w_1, z_1, w_4)}$ est donc réelle et se simplifie en $W(z_1, z_3, z_2, z_4)W(w_1, w_3, w_2, w_4)$. \square



Lemme 4.2. — Soient quatre droites en position générale : D_1, D_2, D_3, D_4 . On pose $z_{i,j} = D_i \cap D_j$ et $S_{i,j,k}$ le cercle circonscrit aux triangles formés par les droites D_i, D_j, D_k .

- (i) $S_{1,2,3}$ et $S_{1,2,4}$ qui se coupent en $z_{1,2}$ ne sont pas tangents ; on note $z_{1,2,3,4}$ le deuxième point d'intersection ;
- (ii) $z_{1,2,3,4}$ appartient au cercle $S_{2,3,4}$;
- (iii) les cercles $S_{1,2,3}, S_{1,2,4}, S_{2,3,4}, S_{1,3,4}$ sont concourants en $z_{1,2,3,4}$; on l'appellera le point central des droites D_1, D_2, D_3, D_4 .

Preuve : (i) En effet sinon D_3 et D_4 seraient parallèles : considérer une homothétie de centre $z_{1,2}$

- (ii) - $S_{1,2,3}$ coupe D_3 en $z_{1,3}$ et $z_{2,3}$;
- D_3 coupe D_4 en ∞ et $z_{3,4}$;
- D_4 coupe $S_{1,2,4}$ en $z_{1,4}$ et $z_{2,4}$;

- $S_{1,2,4}$ coupe $S_{1,2,3}$ en $z_{1,2}$ et $z = z_{1,2,3,4}$

Comme les quatre points $z_{1,3}, \infty, z_{1,4}, z_{1,2}$ sont alignés (sur D_1), les quatre points $z_{2,3}, z_{3,4}, z_{2,4}, z$ sont alignés ou cocycliques; les trois premiers sont sur le cercle $S_{2,3,4}$ et distincts, de sorte que z est sur $S_{2,3,4}$.

(iii) De même $z_{2,3}, \infty, z_{2,4}, z_{1,2}$ sont alignés (sur D_2) donc $z_{1,3}, z_{3,4}, z_{1,4}, z$ sont cocycliques sur $S_{1,3,4}$ d'où le résultat. (on peut aussi conclure par symétrie du problème : si 3 cercles sont concourants le quatrième aussi!) \square

Proposition 4.3. — Soient cinq droites D_1, \dots, D_5 en position générale. Les 5 points centraux $z_{1,2,3,4}, z_{1,2,3,5}, z_{1,2,4,5}, z_{1,3,4,5}$ et $z_{2,3,4,5}$ des cinq quadruplets de droites sont cocycliques ou alignés.

Preuve : - $z_{1,2,3,4}$ est l'intersection des cercles $S_{1,3,4}$ et $S_{1,2,3}$, l'autre intersection étant le point $z_{1,3}$;

- $z_{1,2,3,5}$ est l'intersection des cercles $S_{1,2,3}$ et $S_{1,2,5}$, l'autre intersection étant le point $z_{1,2}$;

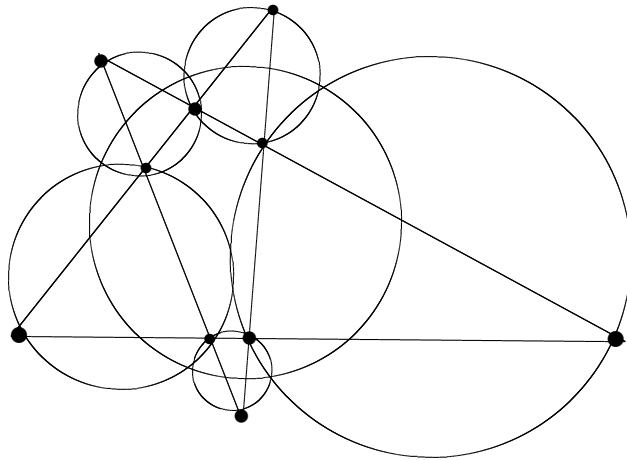
- $z_{1,2,4,5}$ est l'intersection des cercles $S_{1,2,5}$ et $S_{1,4,5}$, l'autre intersection étant le point $z_{1,5}$;

- $z_{1,3,4,5}$ est l'intersection des cercles $S_{1,4,5}$ et $S_{1,3,4}$, l'autre intersection étant le point $z_{1,4}$;

Comme $(z_{1,3}, z_{1,2}, z_{1,5}, z_{1,4})$ sont alignés (sur D_1), les autres sont alignés ou cocycliques

Comme c'est vrai pour toute combinaison de quatre points parmi les cinq... \square

Corollaire 4.4. — (**Pékin 2000**) Les intersections des cercles circonscrits aux triangles externes successifs d'une étoile à cinq branches sont cocycliques.



Preuve : Il s'agit du problème posé par Yang Zemin au congrès mondial (Pékin 2000) ; deux branches successives correspondent au choix de 4 droites sur les cinq qui portent les cotés du pentagone étoilé. L'intersection des cercles circonscrits (2 sur les 4) aux deux branches est donc le point central des 4 droites en question ... (ils ne peuvent pas être alignés) \square

Théorème 4.5. — « Pékin 2000 » : tout système de n droites en position générale avec n pair (resp. impair) détermine un point central (resp. un cercle central) qui est l'intersection

des cercles centraux des n systèmes possibles de $n - 1$ de ces droites (resp. qui passe par les points centraux des n systèmes possibles de ces droites).

4.3. Le théorème des 7 cercles. —

4.4. Ellipse de Steiner. —

Théorème 4.6. — (van der Berg cf. [5] p.14) Soit $P \in \mathbb{C}[X]$ de degré 3 ; les racines de P' sont les foyers de l'ellipse de Steiner du triangle formé par les racines de P .

Preuve : Notons que pour $Q(z) = P(z - z_0)$ on a $Q'(z) = P'(z - z_0)$ de sorte que l'on peut placer l'origine en n'importe quel point. De même pour $Q(z) = P(re^{i\theta}z)$ on a $Q'(z) = re^{i\theta}P'(re^{i\theta}z)$ on peut appliquer une similitude à la figure sans changer l'énoncé. Enfin comme toute transformation affine est la composée d'une similitude avec une affinité de la forme $(x, y) \mapsto (x, y \cos \alpha)$, on peut supposer que les racines A, B, C de P sont les images des points d'affixes $1, j, j^2$ par

$$z \mapsto \frac{z + \bar{z}}{2} + \frac{z - \bar{z}}{2} \cos \alpha = z \cos^2 \frac{\alpha}{2} + \bar{z} \sin^2 \frac{\alpha}{2}.$$

Les demi-axes a, b de l'ellipse considérée sont alors égaux à $\frac{1}{2}$ et $\frac{\cos \alpha}{2}$; la distance entre les foyers F_1, F_2 est $\sqrt{a^2 - b^2} = \frac{\sin \alpha}{2}$. L'homothétie de rapport

$$\left(\frac{\sin \alpha}{2}\right)^{-1} = \left(\sin \frac{\alpha}{2} \cos \frac{\alpha}{2}\right)^{-1}$$

transforme alors F_1 et F_2 en ± 1 . La composition de cette homothétie avec l'affinité précédente est la transformation $z \mapsto z \cot \frac{\alpha}{2} + \bar{z} \tan \frac{\alpha}{2}$ de sorte qu'en posant $a = \cot \frac{\alpha}{2}$ le polynôme de racines A, B, C est

$$P(z) = \left(z - a - \frac{1}{a}\right) \left(z - aj - \frac{1}{aj}\right) \left(z - aj^2 - \frac{1}{aj^2}\right)$$

et on vérifie que les racines de $P'(z) = 3z^2 + 3j + 3j^2 = 3z^2 - 3$ sont bien ± 1 . \square

5. Développements

- condition d'alignement ou de cocyclicité en terme de birapport (thm des 6 rapports)
- constructibilité à la règle et au compas
- description des groupes O_3 et O_4 par les quaternions [4]
- thm de Morley (en précisant l'affixe des sommets du triangle équilatéral et en utilisant les nombres complexes) [?] [?]
- action de $GL_2(\mathbb{R})$ sur le demi-plan de Poincaré [?] [1]
- applications conformes [2]
- paradoxe de Sierpinski-Mazurkiewicz

6. Questions

Exercice 6.1. — *Transcendance de π*

(i) Soit f un polynôme à coefficients réels de degré m . Montrez que pour tout nombre complexe z , l'intégrale complexe

$$I(f; z) = \int_0^1 z e^{z(1-u)} f(zu) dz$$

vérifie

$$I(f; z) = e^z \sum_{j=0}^m f^{(j)}(0) - \sum_{j=0}^m f^{(j)}(z)$$

ainsi que la majoration

$$|I(f; z)| \leq |z| e^{|z|} \sup_{u \in [0,1]} |f(zu)|$$

(ii) Soit f un polynôme à coefficients entiers. Montrez que pour tout $n \geq 0$, il existe un polynôme f_n à coefficients entiers tel que $f^{(n)} = n! f_n$.

(iii) Pour un polynôme f et $g : \mathbb{C} \rightarrow \mathbb{C}$ une fonction, on note $\sum_{f(\alpha)=0} g(\alpha)$ la somme $g(\alpha_1) + \dots + g(\alpha_n)$ où les α_i sont les racines de f répétées autant de fois que leur multiplicité. Montrez que si f est à coefficients entiers de coefficient a , alors pour tout $n \geq 0$, $a^n \sum_{f(\alpha)=0} \alpha^n$ appartient à \mathbb{Z} .

Indication : on pourra introduire une matrice dont la trace est $a^n \sum_{f(\alpha)=0} \alpha^n$.

(iv) Soit f un polynôme à coefficients entiers tel que $f(0) \neq 0$ et de coefficient dominant a . Pour p un nombre premier, soit $g(x) = x^{p-1} f^p(x)$ et $J_p = \sum_{f(\alpha)=0} I(g; \alpha)$. Montrez qu'il existe un entier M tel que

$$\frac{a^{m-p}}{(p-1)!} J_p = a^{m-p} N f(0)^p + pM$$

où $N = \sum_{f(\alpha)=0} e^{\alpha}$. En déduire que N n'est pas un entier non nul.

(v) On veut montrer que π est transcendant. On raisonne par l'absurde : soit f un polynôme irréductible à coefficients entiers tel que $f(i\pi) = 0$ dont on note $\alpha_1, \dots, \alpha_n$ les racines.

(a) En développant l'égalité $\prod_{f(\alpha)=0} (1 + e^{\alpha})$ montrez que

$$\sum_{\epsilon \in \{0,1\}^n} \exp\left(\sum \epsilon_j \alpha_j\right) = 0.$$

(b) Soit $Q(X) = \prod_{\epsilon \in \{0,1\}^n} (X - \sum \epsilon_j \alpha_j)$. Montrez que $Q(X) \in \mathbb{Q}[X]$.

(c) En utilisant la question (4), aboutissez à une contradiction.

7. Solutions

6.1 (1) On intègre par partie soit

$$\begin{aligned} I(f; z) &= [-e^{z(1-u)} f(zu)]_0^1 + \int_0^1 e^{z(1-u)} z f'(zu) du \\ &= -f(z) + e^z f(0) + I(f'; z); \end{aligned}$$

d'où le résultat par récurrence sur le degré de f . Pour obtenir la majoration de $|I(f; z)|$, il suffit d'intégrer sur $[0, 1]$, l'inégalité

$$|z e^{z(1-u)} f(zu)| \leq |z| e^{|z|} \sum_{u \in [0,1]} |f(zu)|,$$

valable pour tout $u \in [0, 1]$.

(2) Par linéarité, il suffit de considérer le cas de $f = X^m$; $f^{(m)} = m(m-1)\cdots(m-n+1)X^{m-n}$. Le polynôme $f_n := C_n^m X^{m-n}$ est à coefficients entiers et vérifie $f^{(n)} = n!f_n$.

(3) Soit m le degré de f et notons A la matrice compagnon du polynôme f/a . Par construction $aA \in \mathbb{M}_m(\mathbb{Z})$ de sorte que $a^n A^n$ est aussi à coefficients entiers ainsi que sa trace. Or les valeurs propres de $a^n A^n$ sont les $(a\alpha)^n$, α parcourant les racines de f avec multiplicités.

(4) On a

$$J_p = N \left(\sum_n g^{(n)}(0) \right) - \sum_n \left(\sum_{f(\alpha)=0} g^{(n)}(\alpha) \right).$$

Si $f(\alpha) = 0$, α est un zéro d'ordre p de g et donc $g^{(n)}(\alpha) = 0$ pour tout $n < p$. D'autre part si $n \geq p$, d'après ce qui précède, $g_n = g^{(n)}/p!$ est un polynôme à coefficients entiers de degré $m-n$ et

$$a^{m-n} \sum_{f(\alpha)=0} g^{(n)}(\alpha)$$

est entier, multiple de $p!$. En 0, on a $g^{(n)}(0) = 0$ pour $n < p-1$ et pour $n \geq p$ alors que

$$g^{(p-1)}(0) = (p-1)!f(0)^p$$

Ainsi, il existe un entier M tel que

$$\frac{a^{m-p}}{(p-1)!} J_p = a^{m-p} N f(0)^p + pM$$

Le second membre de cette égalité est entier et si p ne divise pas $aNf(0)$, il n'est pas multiple de p ; il est en particulier non nul et donc au moins égal à 1 en valeur absolue. Ainsi

$$|J_p| \geq (p-1)!a^{p-m} = (p-1)!p^{1-p \deg f}$$

Or la majoration de l'intégrale I dans (1) implique qu'il existe un réel $c > 0$ tel que $|J_p| \leq c^p$ pour tout p . Quand p tend vers l'infini, la formule de Stirling rend ces deux inégalités incompatibles, d'où le résultat.

(5) (a) c'est clair

(b) Les $\sum \epsilon_j \alpha_j = 0$ sont les racines du polynôme

$$P_0 = \prod_{\epsilon \in [0,1]^n} (X - \sum_j \epsilon_j \alpha_j)$$

dont les coefficients s'expriment comme des polynômes symétriques en les α_j : ce sont donc des polynômes en les fonctions symétriques élémentaires des α_j , donc en les coefficients de f . Ce sont donc des nombres rationnels.

(c) Soit un entier N tel que $NP_0 \in \mathbb{Z}[X]$ et soit $q \geq 1$ la multiplicité de la racine 0 dans P_0 . On pose $P := NF_0/X^q$: c'est un polynôme à coefficients entiers avec $P(0) \neq 0$. De plus on a

$$0 \sum_{\epsilon \in [0,1]^n} \exp\left(\sum_j \epsilon_j \alpha_j\right) = q + \sum_{P(\beta)=0} e^\beta$$

ce qui contredit (4).

Références

- [1] M. Alessandri. *Thèmes de géométrie. Groupes en situation géométrique*. Dunod, 1999.
 - [2] M. Audin. *Géométrie*. EDP Sciences, 2006.
 - [3] M. Berger. *Géométrie 2*. Nathan, 1990.
 - [4] D. Perrin. *Cours d'algèbre*. Ellipses, 1998.
 - [5] V. Prasolov. *Polynomials*. Springer, 2004.
-